

บทที่ 2

กฤษฎี

2.1 กฤษฎีเกี่ยวกับการระเหยสารในระบบสุญญากาศ

ความเข้าใจเกี่ยวกับปรากฏการณ์ที่เกิดขึ้นในการเตรียมแผ่นพิล์มนี้ มีส่วนประกอบสำคัญใหญ่ ๆ ที่จะน่าสนใจล่าวัด คือ :

2.1.1 อัตราการระเหย (Evaporation Rate)

ในการเตรียมแผ่นพิล์มนี้ อัตราการเกาต์ของโนเลกูล เป็นสิ่งหนึ่งที่มีผลต่อคุณสมบัติเฉพาะของพิล์ม สมการที่ใช้อธิบายถึงอัตราการเกาต์ติด คือ สมการของไฮร์ช-ครูดสัน (Hertz-Knudsen equation)^(1,2) ซึ่งใช้หลักการกฤษฎีจลน์ของกําชา (Kinetic gas theory) มาอธิบาย โดยที่อัตราของจำนวนโนเลกูลที่เกาต์ติดผิว ของแผ่นรองรับ (substrate) จะเป็นไปตามสมการที่ (2.1) คือ

$$\frac{dN}{A dt} = (2 \pi k T)^{-1/2} (P^* - P) \quad (2.1)$$

เมื่อ dN เป็นจำนวนโนเลกูลที่ระเหยออกจากพื้นผิว A ในช่วงเวลา dt

π เป็นมวลของโนเลกูล

k เป็นค่าคงที่ของบอยล์ซมันน์ (Boltzmann constant)

T เป็นอุณหภูมิองศาเคลวิน

P เป็นความดัน

P^* เป็นความดันสมดุลย์ (Equilibrium pressure)

สมการที่ (2.1) นี้เป็นอัตราการเกาต์ในการที่อุ่นคติ แต่ในการปฏิบัติการเกาต์ติดไม่ได้เกิดขึ้นเนื่องมาจากโนเลกูลของสารทุกตัว จะมีเพียงส่วนหนึ่งเท่านั้น ถ้าให้ล้มปรับสิทธิ์ของจำนวนโนเลกูลของสารที่เกาต์ติดจริง ต่อจำนวนโนเลกูลทั้งหมด ของสารที่ระเหยเป็น a จะได้ตามสมการที่ (2.2) ดังนี้

$$\frac{dN_e}{A_e dt} = d_e (2\pi mkT)^{-1/2} (P^*) \quad (2.2)$$

2.1.2 การระเหยอิสระและการแพร์ (Free Evaporation and Effusion)

จากสมการที่ (2.2) ได้ประยุกต์ใช้ในการหาอัตราการระบายของการระเหยสารจากจุดใดๆ ที่ พบว่า ถ้า r เป็นค่าอัตราการระเหยของมวล จะได้ความสัมพันธ์ตามสมการที่ (2.3)

$$r = m (\frac{dN_e}{A_e dt}) = (m/2\pi kT)^{1/2} P^* \quad (2.3)$$

สมการที่ (2.3) สามารถเขียนใหม่เป็น

$$r = 5.834 \times 10^{-2} (M/T)^{1/2} P^* \quad (2.4)$$

ถ้าให้ m_e เป็นมวลทึบหมัดในการระเหยสาร จะพบว่า

$$m_e = \int \int r dA_e dt \quad (2.5)$$

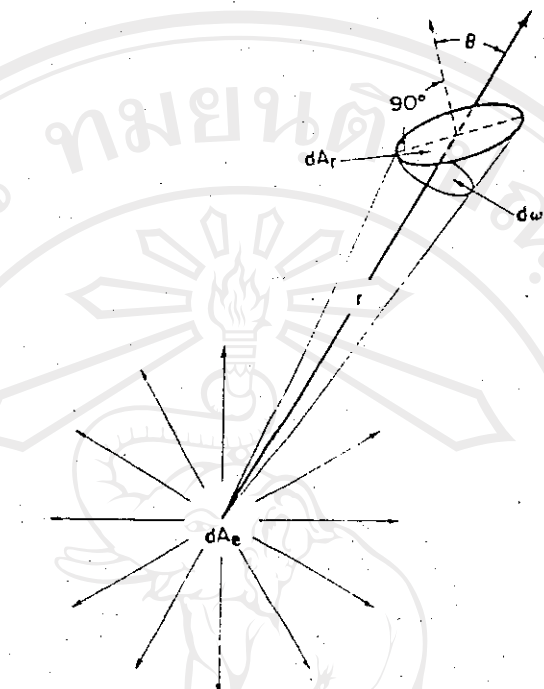
2.1.3 ทิศทางการระเหยของโมเลกุลจากแหล่งกำเนิดที่เป็นจุด^(๑๕) (Directionality of Evaporating Molecules from Point Source)

การระเหยของสารที่ออกจากแหล่งกำเนิดที่เป็นจุดนี้ โมเลกุลที่ระเหยจะเคลื่อนที่ออกไปในทุก ทิศทาง ดังรูปที่ 2.1

พบว่า อัตราการระเหยของมวลจะสัมภาระกับทุกทิศทาง และมวลอยู่ในลักษณะของมุมตัน ด. จะเป็นไปตามสมการที่ (2.6)

$$d^3 m = r dA_e dt (d\Omega/4\pi) \quad (2.6)$$

ซึ่ง $\int \int r dA_e dt$ เป็นมวล m_e ที่ใช้ในการระเหยสารทึบหมัด



รูปที่ 2.1 ผลลัพธ์ของการเผยแพร่จากแหล่งกำเนิดที่เป็นจุด

จะได้ $dm = m_e (d\omega / 4\pi) \quad (2.7)$

สำหรับพื้นผิวเล็ก ๆ dA_r ภายใต้ความตัน $d\omega$ จะขึ้นอยู่กับระยะทางของแหล่งกำเนิด และพิศทางของลักษณะการเผยแพร่จะมีพิศทางเดียวกัน สำหรับ $dA_r = r^2 d\omega / \cos \theta$ จะนั้นจะได้เป็น

$$dm/dA_r = (m_e / 4\pi r^2) \cos \theta \quad (2.8)$$

พื้นที่ผิวทรงกลมรองรับมีการเกาะกันอย่างสม่ำเสมอ เมื่อมีแหล่งกำเนิดอยู่ที่จุดศูนย์กลาง นั่นคือ $\cos \theta = 1$ และ r เป็นค่าคงที่ (Constant)

2.1.4 ทิศทางการระเหยของโมเลกุลจากแหล่งกำเนิดที่เป็นพื้นที่เล็ก ๆ (๑๕)

(Directionality of evaporating molecules from small-area source)

การพิจารณาการระเหยของโมเลกุลจากแหล่งกำเนิด ที่เป็นพื้นที่เล็ก ๆ โดยสมมติการกระจายตัวของโมเลกุล เป็นแบบการแจกแจงความเร็วแมกซ์เวลล์ (Maxwellian speed distribution) การกระจายตัวจะขึ้นอยู่กับมุม และระยะห่างของแหล่งกำเนิดเป็นสำคัญ ซึ่งความล้มเหลวของจำนวนโมเลกุลที่เคลื่อนที่ออกจากแหล่งกำเนิดไปในทิศทางมุม ๆ โดยโมเลกุลจะหายใจในมุมตัน ๔๗ จะเป็นดังนี้ คือ

$$d^3N(\Phi) = (N/V)c\Phi(c^2)dcdA_dt \cos\Phi (d\Omega/4\pi) \quad (2.9)$$

เมื่อ N เป็นจำนวนโมเลกุล

V เป็นปริมาตรของแหล่งกำเนิด

c เป็นความเร็วของโมเลกุล

dA เป็นพื้นที่เล็ก ๆ ของแหล่งกำเนิด

$\Phi(c^2)$ เป็นฟังก์ชันการกระจายของความเร็ว ซึ่งขึ้นอยู่กับค่า c^2

ทำการอินทิเกรตรวมความเร็ว c ทั้งหมด จะได้ว่า

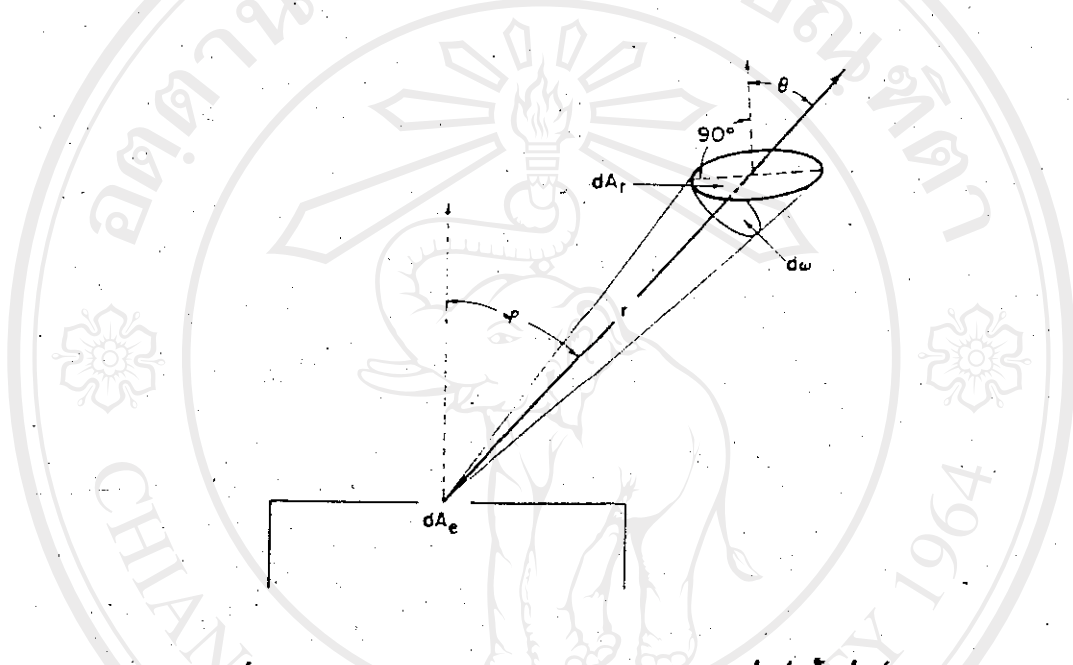
$$c \Phi(c^2)dc = E$$

$$\text{และ } d^3N(\Phi) = (1/4)(N/V)E dA_dt \cos\Phi (d\Omega / 4\pi) \quad (2.10)$$

มวลทั้งหมดของสารที่ใช้ในการระเหยเป็น m_t ซึ่ง $m_t = \int \int \int dA dt$ จากสมการที่ (2.10) จะได้เป็น

$$dm(\Phi) = m_t \cos\Phi (d\Omega / 4\pi) \quad (2.11)$$

จากสมการที่ (2.11) พบว่า กิจกรรมที่ตั้งฉากกับพื้นผิวที่ปลดปล่อยสาร ค่า $\cos\Phi$ จะมีค่าสูงสุด ได้ค่า dA_e มากที่สุด แต่เวลาของสารที่ระเหยเกาจะติดบนแผ่นรองรับ (Substrate) ขึ้นอยู่กับคำแนะนำของพื้นผิวรองรับ (Receiving surface) ดังรูปที่ 2.2



รูปที่ 2.2 แสดงการระเหยจากแหล่งกำเนิดที่เป็นพื้นที่เล็ก ๆ

ความล้มเหลวระหว่างพื้นที่เล็ก ๆ dA กับมุนตัน $d\eta$ ขึ้นอยู่กับระยะทางของแหล่งกำเนิด และมุมตkeh กะ θ จะเป็นไปตามสมการที่ (2.12)

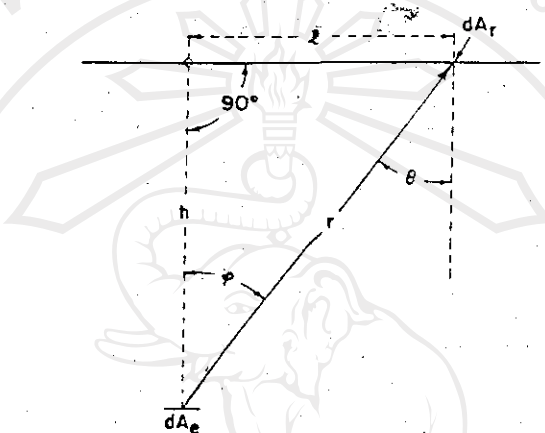
$$dA = r^2 d\omega / \cos\theta \quad (2.12)$$

เพราจะนี้ มวลที่เกาะติดต่อหนึ่งหน่วยพื้นที่ จะเป็นไปตามสมการที่ (2.13)

$$dm/dA = (m_t / \pi r^2) \cos\Phi \cos\theta \quad (2.13)$$

สมการที่ (2.13) สามารถใช้ทดลองกับการระเหยสารที่เป็นของเหลวหรือของแข็งได้ ซึ่งถือว่า ในเดือนที่ระเหยจะมีการเคลื่อนที่อย่างอิสระ เรียกว่า การระเหยอย่างอิสระ (Free evaporation)

2.1.5 การกระจายความหนาของฟิล์ม (Film thickness distribution)⁽¹⁵⁾



รูปที่ 2.3 แสดงการกระจายความหนาของฟิล์มในระยะ 1 ต่อ ๗

จากรูปที่ 2.3 กำหนดให้ h เป็นระยะความสูงจากแหล่งกำเนิดกึ่งแผ่นรองรับ (Substrate) และให้ l เป็นระยะห่างจากจุดกึ่งกลางของแหล่งกำเนิดถึงพื้นที่เล็ก ๆ dA ที่มีลักษณะขั้นไปเกียรติ

ถ้าหากให้ความหนาแน่นของสารที่เก่ายabe เป็นแผ่นฟิล์ม มีค่าเป็น P จะได้ว่า

$$t = (1/P)(dm/dA) \quad (2.14)$$

เมื่อ t เป็นความหนาของแผ่นฟิล์ม

ในเงื่อนไขของแหล่งกำเนิดที่เป็นจุด (Point source) สามารถแทนค่า dm/dA จากสมการที่ (2.8) ลงในสมการที่ (2.14) เมื่อ $\cos \theta = h/r$ และ $r^2 = l^2 + h^2$ จะได้ว่า

$$t = (m_t / 4\pi P) [h / (l^2 + h^2)^{3/2}] \quad (2.15)$$

ส่วนในเงื่อนไขของแหล่งกำเนิดที่เป็นพื้นที่เล็ก ๆ (Small-area source) แทนค่า dm/dA จากสมการที่ (2.13) ลงในสมการที่ (2.14) เมื่อ $\cos\theta = \cos\psi$ และ $r^2 = l^2 + h^2$ จะได้

$$t = (m_t/TP)[h^2/(l^2+h^2)^2] \quad (2.16)$$

จากสมการที่ (2.15) และ (2.16) สามารถใช้อธิบายการกระจายความหนาของแผ่นพื้นในระยะ 1 ต่าง ๆ โดยที่แหล่งกำเนิดเป็นแบบจุด (point source) และแบบพื้นที่เล็ก ๆ (Small-area source) ตามลำดับ

2.1.6 การอินทิเกรตพื้นที่ dA เพื่อหามวลที่เบาะติดบนผู้ร้องรับ

สมการที่ (2.15) และ (2.16) เป็นการอธิบายการกระจายความหนา โดยที่แหล่งกำเนิดการระเบยลารเป็นแบบจุดและแบบพื้นที่เล็ก ๆ ตามลำดับ ถ้าหาค่า t แทนกลับลงในสมการที่ (2.14) เพื่อหาค่า dm/dA จะได้

$$dm/dA = (m_t/4T)[h/(l^2+h^2)^{3/2}] \quad (2.17)$$

และ

$$dm/dA = (m_t/T)[h^2/(l^2+h^2)^2] \quad (2.18)$$

พิจารณาพื้นที่ dA บนแผ่นรองรับ ซึ่งเป็นวงกลมตั้งรูปที่ 2.4 ท้าการอินทิเกรตพื้นที่ ได้ดังนี้

$$\text{arc } AC' = 2(1d)$$

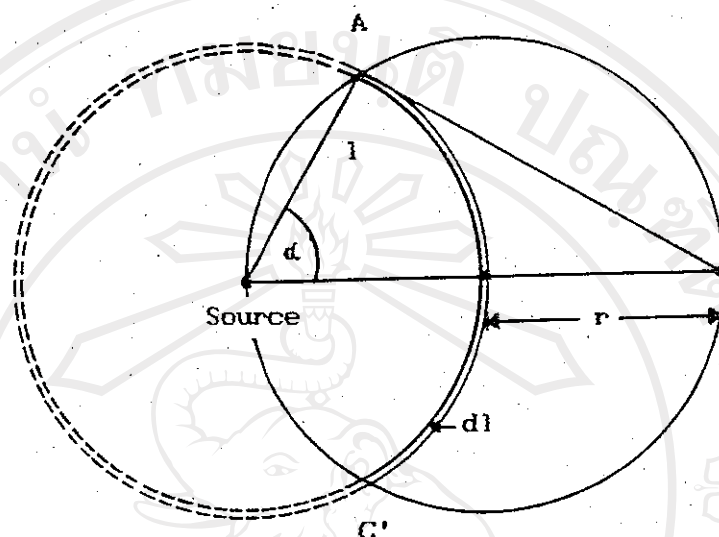
$$dA = 2(1d)d1$$

ตั้งนั้น

$$dA = 2(1 \cos^{-1}(1/2r))d1$$

แทนค่า dA ลงในสมการที่ (2.17) และ (2.18) จะได้

$$m = [(m_t/2T)[h/(l^2+h^2)^{3/2}]] \int \cos^{-1}(1/2r) d1 \quad (2.19)$$



รูปที่ 2.4 ผลของการอินทิเกรตพื้นที่ dA ทรายแผ่นรองรับ

$$\text{และ } m = 2 \int (m_e/4\pi) [h^2/(1^2+h^2)^2] l \cos^{-1}(1/2r)d \quad (2.20)$$

สมการที่ (2.19) และ (2.20) เป็นสมการที่ใช้ในการคำนวณที่เกาด์ติกบันแผ่นรองรับพื้นที่ dA โดยที่แหล่งกำเนิดการระเหยสารเป็นแบบบุล และพื้นที่เล็ก ๆ ตามลักษณะ

2.1.7 การวัดความหนาของแผ่นเมลามีน โดยใช้คริสตอล (X-tal)

การอธิบายแหล่งกำเนิดการระเหยสาร ได้มีการตั้งสมมติฐานแหล่งกำเนิดเป็นแบบบุล และแบบพื้นที่เล็ก ๆ ซึ่งเป็นไปตามสมการ

$$dm/dA = (m_e/4\pi) [h/(1^2+h^2)^{3/2}]$$

$$dm/dA = (m_e/4\pi) [h^2/(1^2+h^2)^2] \quad \text{ตามลักษณะ}$$

ค่าความไวของคริสตอล (Sensitivity) หรือ $\Delta f / \Delta m_{x-tal}$, จากการทดลอง จะได้ค่า $\Delta f / \Delta m_{x-tal} = K$ (ค่าคงที่)

หากตัวแหน่งของคริสตอล ตั้งหัวและจากจุดเรย์เป็นระดับ 1, และสูงจากจุดเรย์ระดับ h , โดยพื้นที่ที่เปิดรับให้มีวัลรูที่ชื่นมากากะ dA , จะได้ว่า

$$m_t = 4\pi(\Delta f/KdA_1)[(l^2 + h^2)^{3/2}/h_1] \quad \text{ในการพิสัยแล่งก้าวนีดีเป็นแบบบุคคล}$$

$$\text{และ } m_t = \pi(\Delta f/KdA_1)[(l^2 + h^2)^2/h^2] \quad \text{ในการพิสัยแล่งก้าวนีดีเป็นแบบพื้นที่เล็ก ๆ}$$

แทนค่า m_t ลงในสมการที่ (2.15) และ (2.16) จะได้

$$t = (\Delta f/PKdA_1)[[(l^2 + h^2)^{3/2}/(l^2 + h)^{3/2}](h/h_1)] \quad (2.21)$$

และ

$$t = (\Delta f/PKdA_1)[[(l^2 + h^2)^2/(l^2 + h)^2](h^2/h_1^2)] \quad (2.22)$$

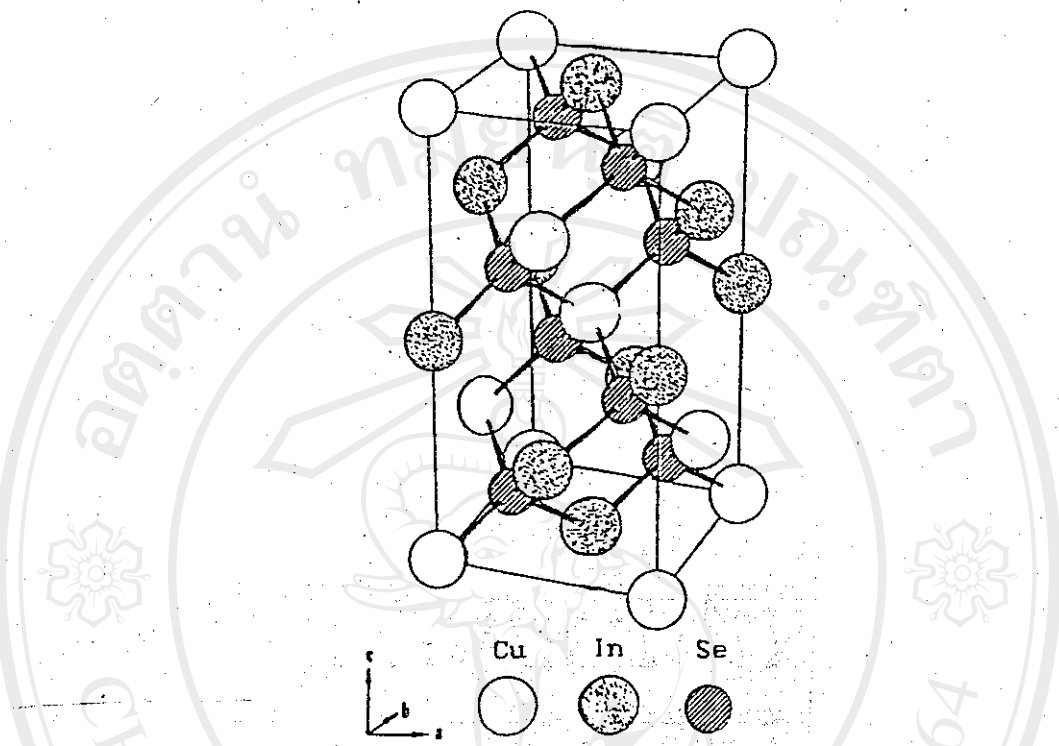
สมการที่ (2.21) เป็นการหาความหนาของแผ่นฟิล์มบาง เมื่อแหล่งกำเนิดในการเรย์สารเป็นแบบบุคคล และสมการที่ (2.22) เป็นการหาความหนาของแผ่นฟิล์มบาง ในกรณีแหล่งกำเนิดในการเรย์สารเป็นพื้นที่เล็ก ๆ ก็งส่องสมการเป็นการวัดค่าโดยใช้คริสตอลเป็นมอนิเตอร์ (Monitor)

2.2 โครงสร้างผลึกแท้โลหะโดยไฟร์ฟ์

ลักษณะของกึ่งตัวนำที่มีโครงสร้างแบบนี้ จะมีลักษณะเป็นแบบบอดี้เซ็นเตอร์เตตราแกรนด์ (Body-Centred Tetragonal) ซึ่งมีค่าคงที่ของโครงสร้างผลึก $a = b = c$ และ $\alpha = \beta = \gamma = 90^\circ$ ดังแสดงในรูปที่ 2.5

โครงสร้างจะมี 16 อะตอมต่อหนึ่งหน่วยเซลล์ สารที่มีโครงสร้างแบบนี้คือ สารประกอบกึ่งตัวนำในกลุ่ม I-III-VI₂ ซึ่งมีตัวแหน่งอะตอมดังนี้ คือ

ธาตุกลุ่มที่ 1 เช่น Cu, Ag มี 4 อะตอมอยู่ที่ : 000, 0(1/2)(1/4), (1/2)(1/2)(1/2), (1/2) 1(3/4)



รูปที่ 2.5 แสดงโครงสร้างผลึกแกะช้าโลไฟโรท์

ธาตุกลุ่มที่ III เช่น In, Ga มี 4 อะตอม อยู่ที่ : $00(1/2)$, $0(1/2)(3/4)$, $(1/2)(1/2)1$, $(1/2)1(1/4)$

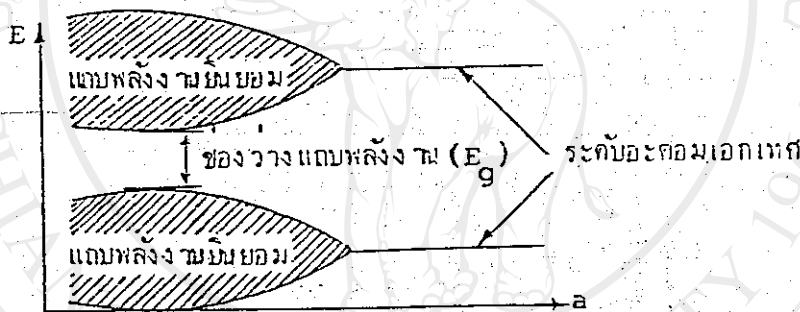
ธาตุกลุ่มที่ VI เช่น Se, Te มี 8 อะตอม อยู่ที่ : $X(1/2)(1/8)$, $\bar{X}(3/4)(1/8)$, $(3/4)X(7/8)$, $(1/4)\bar{X}(7/8)$, $(1/2)+X(3/4)(5/8)$, $(1/2)+\bar{X}(1/4)(5/8)$, $(1/4)(1/2)+\bar{X}(3/8)$ และ $(3/4)(1/2)+\bar{X}(3/8)$

โดยที่ $X = (1/4) + u$ และ $\bar{X} = (3/4) + u$, u เป็นค่าการเลื่อนแบบเท-
ตรานิล (Tetragonal distortion) ซึ่งเกิดจากอัตราของธาตุชนิดต่าง ๆ มีขนาดและ
อัตโนมัติในการดึงดูดที่แตกต่างกัน มิผลให้โครงสร้างผลึกแตกต่าง จากโครงสร้างแบบสมบูรณ์
เล็กน้อย นอกจากนี้ยังพบว่า หนึ่งหน่วยเซลล์ของผลึกที่มีโครงสร้างแบบนี้ จะเป็นสองเท่าของ
ผลึกที่มีโครงสร้างแบบชิงค์เบลนด์

2.3 กุญแจสำคัญและงานของช่องแข็ง⁽¹⁷⁾

2.3.1 การก่อรูปของแบบผลิตงาน

แบบผลิตงานในช่องแข็ง มีพื้นฐานมาจาก รายตัวผลิตงานของเวลาซึ่งอิเล็กตรอน อะตอมเดียวอิสระที่ถูกนำมายื่นใกล้กัน ตั้งแต่ลดลงตัวไปทางภาพพูบกที่ 2.6 ซึ่งจะมีระดับพลังงานบาง ส่วนที่เป็นไปได้ สำหรับอิเล็กตรอนเหล่านี้ และจะมีบางบริเวณที่เป็นบริเวณห้าม ซึ่งอิเล็ก- ตรอนอยู่ไม่ได้



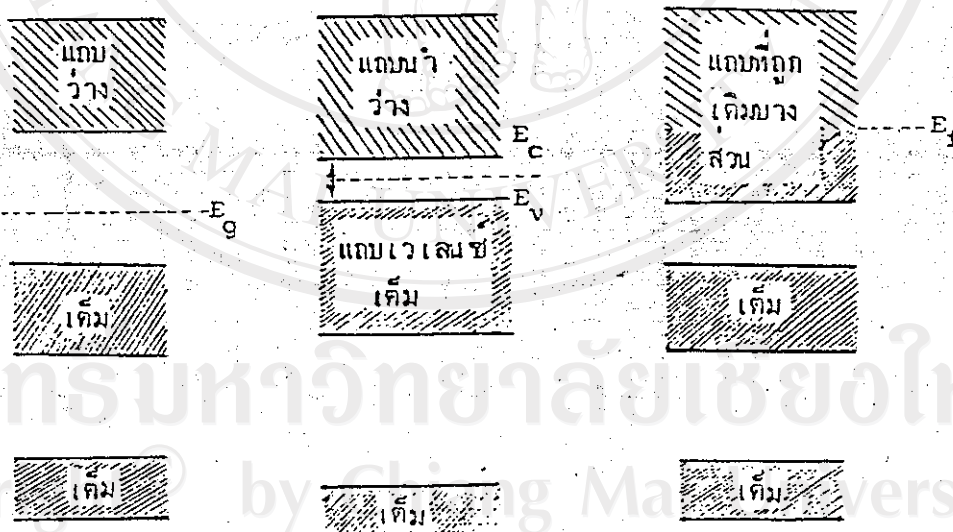
รูปที่ 2.6 แสดงแผนภูมิระดับแบบผลิตงานในผลึกที่เป็นฝังกั่น ของระยะห่างระหว่างอะตอม

ตามปกติ ในอะตอมเดียวอิสระของธาตุทุกชนิด จะมีวงของอิเล็กตรอนล้อมรอบนิวเคลียสจากวงในสุด ตัดออกมานี้เป็นล้ำดับ จนมีจำนวนอิเล็กตรอนเท่ากับประตอน แต่ความเป็นจริงในเชิงวิทยาการแล้ว ยังมีระดับพลังงานในวงดับ ๆ ออกมากอมากที่พร้อมจะรับอิเล็กตรอน จากรวงในหรือจากที่อื่นภายในอะตอมอยู่ได้ตามความจำเป็น ตัวอย่างเช่น ใช้เตียม คือ Na^{+} มีวงที่บรรจุอิเล็กตรอนอยู่เป็น $1s^2 2s^2 2p^6 3s^1$ แต่ยังมีวง $3p, 4s, \dots$ ที่ว่างอยู่ขณะเมื่ออยู่ในสถานะพื้น (Ground state)

ในผลึกสถานะการณ์ที่เกิดขึ้นคล้าย ๆ กันคือ แบบผลิตงานจะถูกบรรจุให้เต็มจาก ระดับต่ำสุดมาเรื่อย ๆ จนกว่าเวลาซึ่งอิเล็กตรอนจะหมด ซึ่งในแบบลูกกลิ้งก้าวย่อจะจะเต็มพอติดหรือยังไม่เต็ม แต่ที่นี่ที่อยู่ถัด ๆ ขึ้นไปที่ว่างเปล่า พร้อมที่จะเป็นก้อนอยู่ของอิเล็กตรอน ตามความ-

เนมายส์องค์มีอยู่ แต่แบบผลั้งงานที่มีผลอย่างมากต่อสมบัติทางไฟฟ้าของสารได้แก่ สองแบบ นอกสุดคือแบบสุดท้ายที่เต็มหรือเกือบเต็ม และแบบที่ว่าง ที่อยู่ด้านไปเพราเป็นบริเวณที่มีการโยกย้าย หรือเปลี่ยนแปลงของเวลาเหล่านี้อีกครั้งที่จะก่อให้เกิดผลทางไฟฟ้า เรียกแบบทั้งสองนี้ว่า แบบเวลาเนร์ (Valence band) และแบบนำ (Conduction band) ตามลักษณะ ซึ่งถ้าให้ระดับพลังงานสูงสุดของแบบเวลาเนร์เป็น E_v ระดับพลังงานต่ำสุดของแบบนำเป็น E_c และ E_g เป็นช่องว่างของแบบพลังงาน (Energy gap) จะได้ความลับพันธ์ $E_g = E_c - E_v$ ส่วนระดับพลังงานที่ใช้เป็นตัวบ่งชี้การแยกตัวพลังงานที่เต็มและที่ว่างอยู่ด้วยกันไป เรียก ระดับเฟอร์มี (Fermi level)

ของแข็งสามารถแบ่งออกเป็น 3 ประเภท ตามแนวคิดของแบบผลั้งงานคือ โลหะ สารกึ่งตัวนำ และอนุวัต ตั้งแสดงในรูปที่ 2.7



(ก) อนุวัต

(ข) สารกึ่งตัวนำ

(ค) โลหะ

รูปที่ 2.7 แสดงแผนกว่างานให้เห็นชิ้นฐานที่แยกต่างกันของแบบผลั้งงาน

ในการพิจารณา แกนava เลนช์ (ปักธิตะเต็ม) อาจจะเหลือมกับแกนน้ำ (ปักธิตะว่าง) ทำให้แต่ละแกนมีอิเล็กตรอนอยู่บ้าง แต่ถ้าแกนทึบส่องไม่เหลือมกัน แกนน้ำจะมีอิเล็กตรอนอยู่ครึ่งแกน เพราะอยตอนของโลหะมักมีจำนวนอิเล็กตรอนวงนอกสุดเป็นเลขคี่ เช่น No.

ในสารทึบตัวน้ำ และชนวนที่อยู่ในสถานะพื้น (Ground state) แกนava เลนช์จะเพิ่มพอติ และแกนน้ำจะว่าง แต่ปรากฏการณ์นี้เปลี่ยนแปลงได้ ถ้ามีสิ่งต่อไปนี้

1. มีการกราดตุ้นด้วยพลังงานความร้อน (Thermal energy) ให้อิเล็กตรอนข้ามจากแกนava เลนช์ไปยังแกนน้ำ
2. มีความนักพร่องในผลึก ซึ่งอาจเกิดจากสภาวะต่าง ๆ เช่น การเจือสารที่มีผลทำให้อิเล็กตรอนเพิ่มในแกนน้ำ หรือทำให้ติงอิเล็กตรอนออกจากแกนava เลนช์ เกิดโอล (Hole) ที่น้ำໄฟผ้าขึ้น

2.3.2 แกนพลังงาน

โครงสร้างแกนพลังงานของผลึก มีความลับมันธ์กับพลังงานและโนเมนต์อย่างใกล้ชิด ตามปกติแล้วการอธิบายจะเริ่มต้นโดยใช้สมการของริคริกเจอร์ที่ประยุกต์ใช้กับมั่นูก้าอิเล็กตรอน 1 ตัว ร่วมกับกฎวิชองบล็อก (Block Theorem) ซึ่งมีความสำคัญมากเป็นพิสูจน์ที่ใช้หาโครงสร้างของแกนพลังงาน

กฎวิชองบล็อก กล่าวไว้ว่าฟังก์ชันคลีน $\Psi(r)$ มีรูปแบบเหมือนกับคลีน อะราบ (plane wave) ที่มีเวกเตอร์คลีน K เพียงแต่ถูกโมดูลเลกตัวฟังก์ชัน $U_K(r)$ ที่ขึ้นอยู่กับ K และมีความเป็นพิริอติก (periodic) อย่างเดียวกับศักย์ของผลึก (ϕ potential energy V_{eff}) is periodic : $V(r+1) = V(r)$) นั่นคือ

$$\Psi(r) = \Psi_K(r) = U_K(r) \exp(iK \cdot r) = \Psi_K(r+1) \quad (2.23)$$

โดยที่

$$U_K(r+1) = U_K(r)$$

กฤษฎีบทของบล็อก พิสูจน์ได้โดยใช้วิธีการคณิตศาสตร์แก้สมการ เนื่องจากสมการ
อนุพันธ์อันดับที่สอง (Second-order differential equation) หรือในทางฟิสิกส์ จะใช้
หลักการสมมาตรในเชิงกลศาสตร์ควบคุมตัวเข้าช่วย โดยอาศัยสมบัติของสมมาตรที่เกิดจากการ
เลื่อนตำแหน่งมาใช้กับโอเพอเรเตอร์แยมิลโลนียัน

๔ ตัวแหน่งแลตติกว่าง (Empty lattice) [$V(r) = 0$] สมการของไฮดริด-
เจอร์เชียนได้เป็น

$$-(\hbar^2/2m) \nabla_{nk}^2 \Psi_{nk} = E_n(K) \Psi_{nk} \quad (2.24)$$

และสมการ เนื่องจากมีลักษณะเป็นคลื่นระนาบที่มีเวกเตอร์ปั่นออกทิศทางการเคลื่อน
ที่ ที่สอดคล้องกับ K และสภาพของผลึกซึ่งรู้ได้จากเวกเตอร์แลตติกส่วนกลับ ที่ โดยที่ K จะวาง
ตัวอยู่ในบริลลิโอน (Brillouin Zones) ที่หนึ่ง คลื่นนี้อาจอธิบายด้วยฟังก์ชันบล็อก ซึ่งเชียน
ได้เป็น

$$\Psi_{nk}(r) = \exp(iK.r) U_{nk}(r) \quad (2.25)$$

โดยที่

$$U_{nk}(r) = \exp(ig.r)$$

จะสังเกตเห็นว่า ที่ มีความสำคัญต่อระดับพลังงานที่ปั่นออกด้วย g โดยที่ระดับ
พลังงาน E_n หาได้จาก

$$E_n(K) = (\hbar^2/2m)(K+g)^2 \quad (2.26)$$

จากสมการที่ (2.26) สามารถนำมาใช้หาค่าพลังงานของแบบน้ำ และพลังงาน
ของแบบวาราเดน์ได้ คือ

$$E_e(K) = E_e + (\hbar^2 K^2 / 2m) \quad (2.27)$$

และ

$$E_v(K) = \frac{h^2 K^2}{2m} \quad (2.28)$$

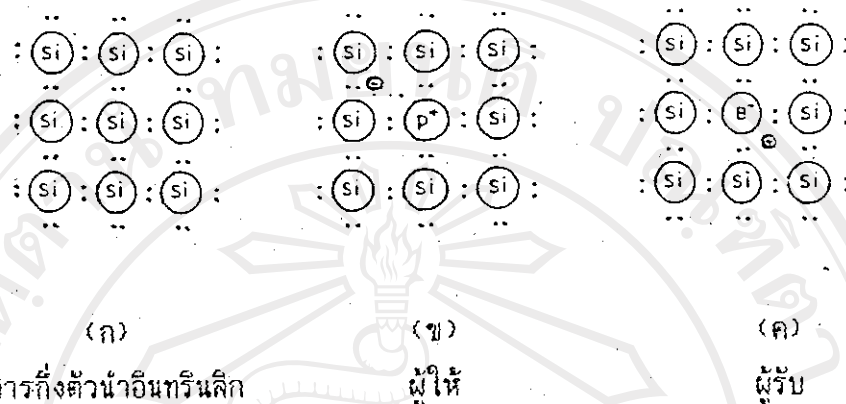
เมื่อค่า m_e^* , m_h^* เป็นค่ามวลประดิษฐ์ผล (Effective masss) ของอิเล็กตรอน และไฮล (Hole) ตามลำดับ ค่า E_v คือค่าซึ่งว่างของแคนพลังงาน

2.4 สัมบัติทางไฟฟ้าของสารกึ่งตัวนำ

2.4.1 ผู้ให้ ผู้รับ และแทรพไอโซอิเล็กตรอน (Donor, Acceptor and Isoelectronic trap)

สารกึ่งตัวนำที่ ๗ ไป จะมีพันธุ์ค่าวาเลนซ์ที่เกิดจากวาเลนซ์อิเล็กตรอนของอะตอมสาร แต่ถ้าเติมสารเจือลงไป เช่น สารเจือของธาตุในกลุ่ม III หรือกลุ่ม V เศียรลงไปใน Si ในรูปที่ 2.8 ก.) แสดงสารกึ่งตัวนำอินทรินสิก (Intrinsic) Si ที่ไม่มีสารเจือในรูปที่ 2.8 ข.) เป็นการเติมสารเจือฟองฟอร์ส (P) ลงใน Si เนื่องจากวาเลนซ์อิเล็กตรอนของฟองฟอร์สมีอยู่ ๕ ตัว ในขณะที่พันธุ์ค่าของธาตุเหล่านี้จะลดลง ๗ ตัวนี้ต้องการอิเล็กตรอนเพียง ๔ ตัว จึงทำให้มีอิเล็กตรอนเกินมากหนึ่งตัว ซึ่งค่อนข้างเป็นอิสระที่จะเคลื่อนที่ไปมาในฟลักก์ได้ เรียกสารกึ่งตัวนำนี้เป็นชนิดเอ็น (n-type) ซึ่งจะเป็น "ผู้ให้" (Donor) ส่วนในรูปที่ 2.8 ค.) เป็นการเติมสารเจือไฮลอน (B) ซึ่งมีวาเลนซ์อิเล็กตรอนเพียง ๓ ตัว ลงใน Si จึงทำให้เกิดการขาดแคลนอิเล็กตรอนขึ้น ประจุพานะส่วนใหญ่จึงได้แก่ไฮล (Hole) เรียกสารกึ่งตัวนำนี้เป็นชนิดพี (p-type) ซึ่งจะเป็น "ผู้รับ" (Acceptor)

แต่ถ้าการเติมสารเจือที่ใส่เข้าไป ไม่มีการให้หรือรับอิเล็กตรอนจากผลึกสารกึ่งตัวนำ ที่เป็นเจ้าบ้าน ตัวอย่างเช่น ผลึก Gap ถ้าเติมลงไปในสารกลุ่ม V เช่น ในไครเดน เนื่องจาก N มีวาเลนซ์เท่ากันกับ P จึงไม่มีการให้และการรับอิเล็กตรอนเกิดขึ้น จึงเรียกสารลักษณะนี้ว่า แทรพไอโซอิเล็กตรอน (Isoelectronic trap)



รูปที่ 2.8 แสดงสารกึ่งตัวนำอินทรินสิก, ผู้ให้และผู้รับ

2.4.2 สภาพนำไฟฟ้าของสารกึ่งตัวนำ

สภาพนำไฟฟ้าของสารกึ่งตัวนำ สามารถเขียนได้โดยใช้การนำไฟฟ้าในโลหะที่ ๗ ไป มาอธินาย ซึ่งจะเป็นไปตามสมการที่ (2.29)

$$\sigma' = n e \mu$$

(2.29)

โดยที่ σ' เป็นสภาพนำไฟฟ้า n เป็นความหนาแน่นของอิเล็กตรอน และ μ เป็นสภาพความคล่องตัว (mobility) ของประจุพานะ

ในการวัดสารกึ่งตัวนำอินทรินสิก จะได้ $n = p$ ดังนั้นสภาพการนำไฟฟ้า จึงเขียนได้

ใหม่เป็น

$$\sigma' = n e (\mu_e + \mu_h) = 2e(K T / 2\pi h)^{3/2} (m_e m_h)^{3/4} \exp(-E_g / 2k T) (\mu_e + \mu_h) \quad (2.30)$$

โดยที่ μ_e และ μ_h เป็นสภาพคล่องตัวของอิเล็กตรอนและโพล ตามลำดับ โดยค่าสภาพความคล่องตัวนิยามได้ดังสมการที่ (2.31)

$$\mu = e\varphi/m^*$$

(2.31)

เมื่อ τ^* เป็นเวลาประลักษณ์ผล และ τ เป็นเวลาชีวอายุของพาราโบลา

ผลจากการวิเคราะห์โดยบาร์เด่น (Bardeen) และช็อกลีย์ (Shockley) พบว่า ค่าส่วนความคล่องตัวจะเปรียบผันกับอุณหภูมิ $T^{-3/2}$ ดัง

$$\mu \propto T^{-3/2}$$

(2.32)

เมื่อแทนค่าสมการที่ (2.32) ลงในสมการที่ (2.30) จะได้ว่า

$$\sigma = f(T) \exp(-E_a/2kT)$$

(2.33)

โดยที่ $f(T)$ เป็นฟังก์ชันที่ขึ้นอยู่กับอุณหภูมิ จากความสัมพันธ์ของสมการที่ (2.33) ทำให้สามารถหาค่า E_a ของสารกึ่งตัวนำได้จากความชันของกราฟ ซึ่งเป็นความสัมพันธ์ระหว่าง $\ln \sigma$ หรือ $\ln(1/R)$ กับ $1/T$ ที่หาได้จากการทดลอง